

# Méthodes numériques garanties pour la classification de fonctions et le contrôle optimal

Nicolas Delanoue

Soutenance HDR

Le 10 octobre 2018



*Rapporteurs :*

- Didier Henrion (DR LAAS - Toulouse)
- Nacim Ramdani (PR PRISME - Université d'Orléans)
- Stef Graillat (PR LIP6 - Sorbonne Université)

*Examineurs :*

- Marie-Françoise Roy (PR IRMAR - Université de Rennes)
- Luc Jaulin (PR Lab-STICC - ENSTA Bretagne)
- Laurent Hardouin (PR LARIS - Université d'Angers)

## ● Enseignements :

Mathématiques, réseaux, système d'exploitation, électronique numérique, programmation, calcul scientifique, architecture logicielle et matérielle, projets en systèmes automatisés, modélisation, théorie du contrôle...

Environ 300 heures enseignements / an

DUT GEII, Licence Réseaux, ISTIA, Faculté des sciences

## ● Charges diverses :

Directeur des études

Département GEII

Responsable du recrutement

Département GEII

Animation scientifique

Département GEII

Chargé de mission pour le numérique

Composante IUT

Co-animateur de l'axe Mathématiques et fondement du numérique de SFR Math-STIC.

Université

Maître de conférences à l'IUT

09

10

11

12

13

14

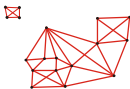
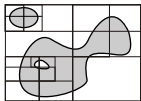
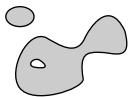
15

16

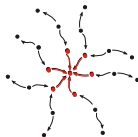
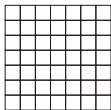
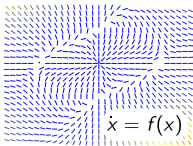
17

18

## Analyse de la topologie d'un ensemble



## Calcul du bassin d'attraction d'un point



Doctorat

ATER

Maître de conférences

04

05

06

07

08

09

10

11

12

13

14

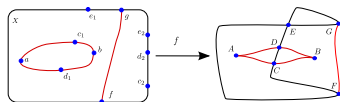
15

16

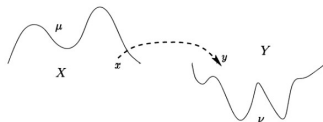
17

18

## Analyse de fonctions lisses



## Transport optimal et contrôle optimal



Doctorat

ATER

Maître de conférences

04

05

06

07

08

09

10

11

12

13

14

15

16

17

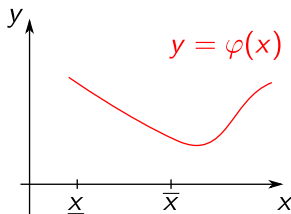
18

- 1 Classification de fonctions lisses
  - Motivation issue de la robotique
  - Calcul de la topologie du contour apparent
  - Portrait de fonctions
- 2 Calcul optimal et théorie de la mesure
  - Problème des moments généralisés
  - Transport optimal
  - Contrôle optimal
- 3 Conclusion et perspectives

## Définition

Soit  $\varphi : \mathbb{R} \rightarrow \mathbb{R}$  une fonction, la fonction  $[\varphi] : \mathbb{IR} \rightarrow \mathbb{IR}$  est une *fonction d'inclusion* pour  $\varphi$  si

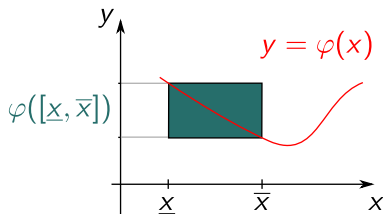
$$\forall [\underline{x}, \bar{x}] \in \mathbb{IR}, \varphi([\underline{x}, \bar{x}]) \subset [\varphi]([\underline{x}, \bar{x}]).$$



## Définition

Soit  $\varphi : \mathbb{R} \rightarrow \mathbb{R}$  une fonction, la fonction  $[\varphi] : \mathbb{IR} \rightarrow \mathbb{IR}$  est une *fonction d'inclusion* pour  $\varphi$  si

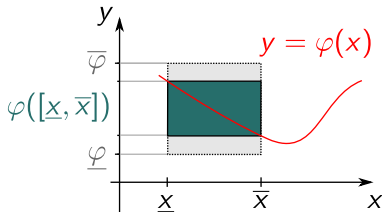
$$\forall [\underline{x}, \bar{x}] \in \mathbb{IR}, \varphi([\underline{x}, \bar{x}]) \subset [\varphi]([\underline{x}, \bar{x}]).$$



## Définition

Soit  $\varphi : \mathbb{R} \rightarrow \mathbb{R}$  une fonction, la fonction  $[\varphi] : \mathbb{IR} \rightarrow \mathbb{IR}$  est une *fonction d'inclusion* pour  $\varphi$  si

$$\forall [\underline{x}, \bar{x}] \in \mathbb{IR}, \varphi([\underline{x}, \bar{x}]) \subset [\varphi]([\underline{x}, \bar{x}]).$$



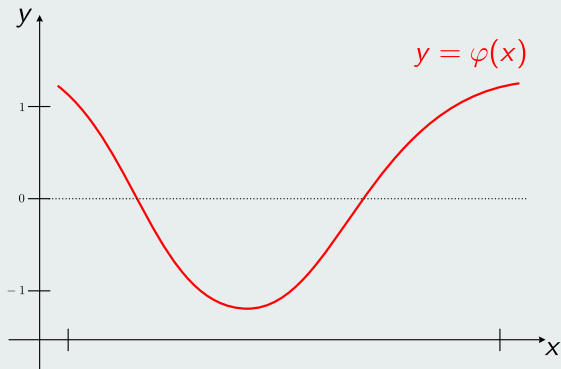


## Une courte histoire du calcul par intervalles

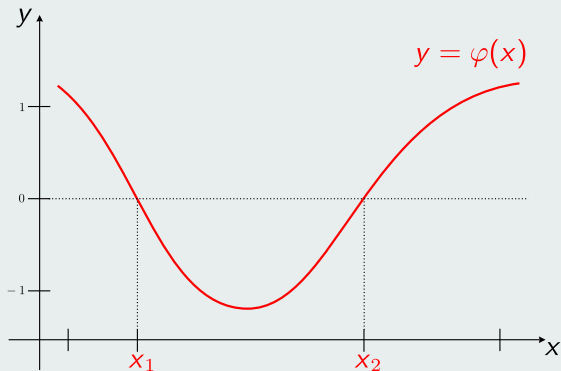
- Arithmétique des intervalles, R. E. Moore, 1966.
- Optimisation globale, R. Baker Kearfott, 90's,
- Résolution de systèmes d'équations, A. Neumaier, 90's
- Résolution d'équations différentielles ordinaires, R. Lohner 1988,
- La preuve de l'existence de l'attracteur étrange pour le système de Lorentz, W. Tucker, 1998.
- Analyse par intervalles appliquée à la robotique, L. Jaulin, 2001,
- La preuve de la conjecture de Kepler, T. Hales, 2003,
- Estimation de paramètres pour les systèmes décrits par les équations différentielles ordinaires, N. Ramdani, 2004
- EDP, topologie algébrique, ...

Résoudre l'équation  $\varphi(x) = 0$  d'inconnue  $x$ .

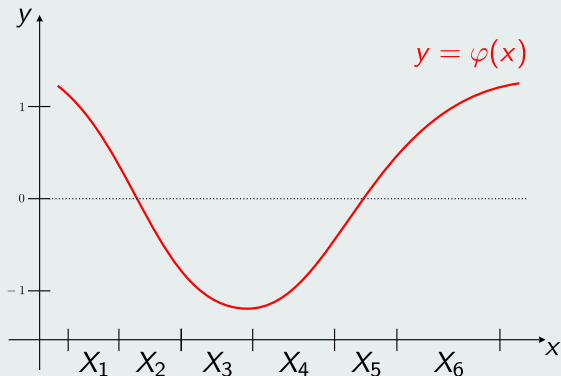
Résoudre l'équation  $\varphi(x) = 0$  d'inconnue  $x$ .



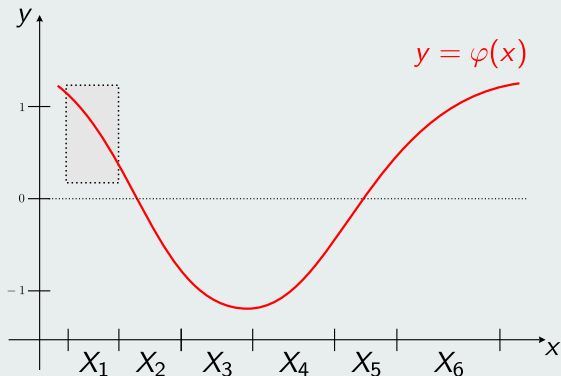
Résoudre l'équation  $\varphi(x) = 0$  d'inconnue  $x$ .



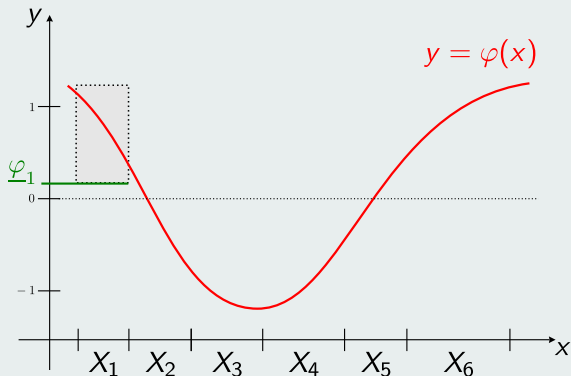
Résoudre l'équation  $\varphi(x) = 0$  d'inconnue  $x$ .



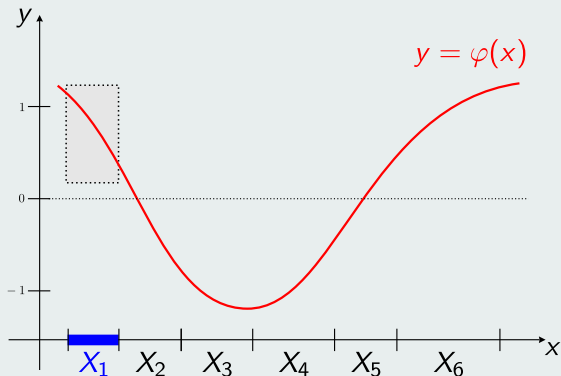
Résoudre l'équation  $\varphi(x) = 0$  d'inconnue  $x$ .



Résoudre l'équation  $\varphi(x) = 0$  d'inconnue  $x$ .

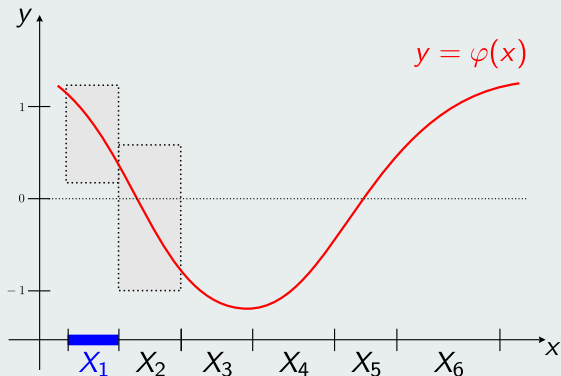


Résoudre l'équation  $\varphi(x) = 0$  d'inconnue  $x$ .

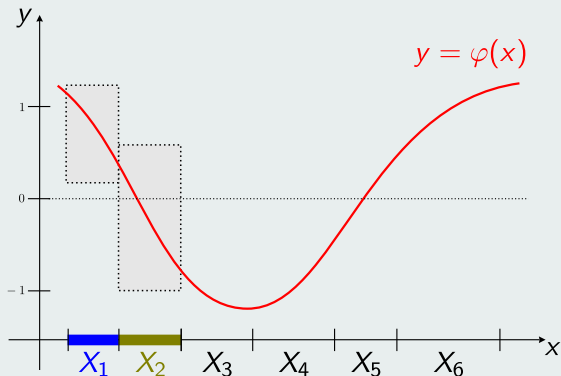




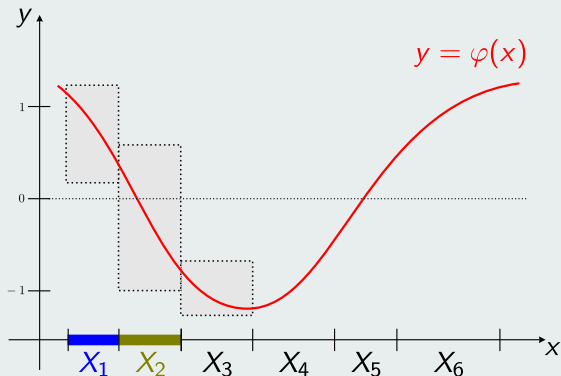
Résoudre l'équation  $\varphi(x) = 0$  d'inconnue  $x$ .



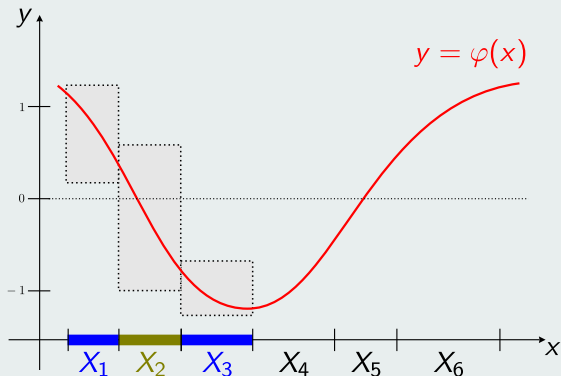
Résoudre l'équation  $\varphi(x) = 0$  d'inconnue  $x$ .



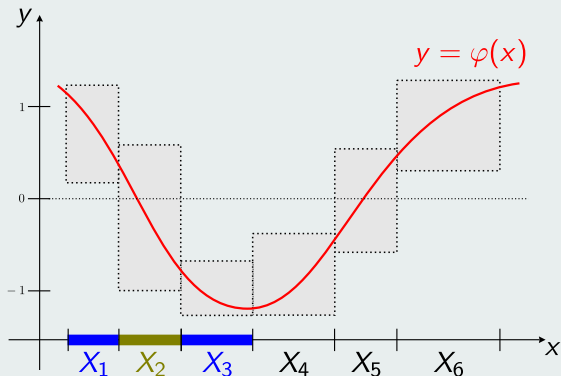
Résoudre l'équation  $\varphi(x) = 0$  d'inconnue  $x$ .



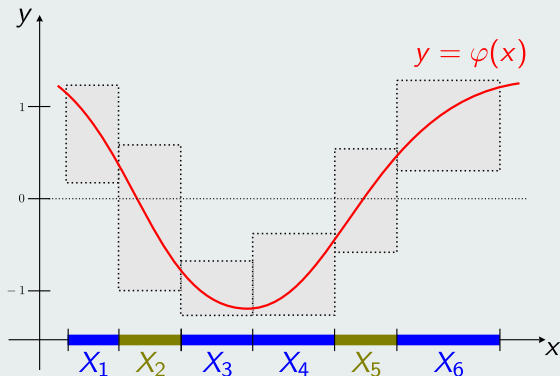
Résoudre l'équation  $\varphi(x) = 0$  d'inconnue  $x$ .



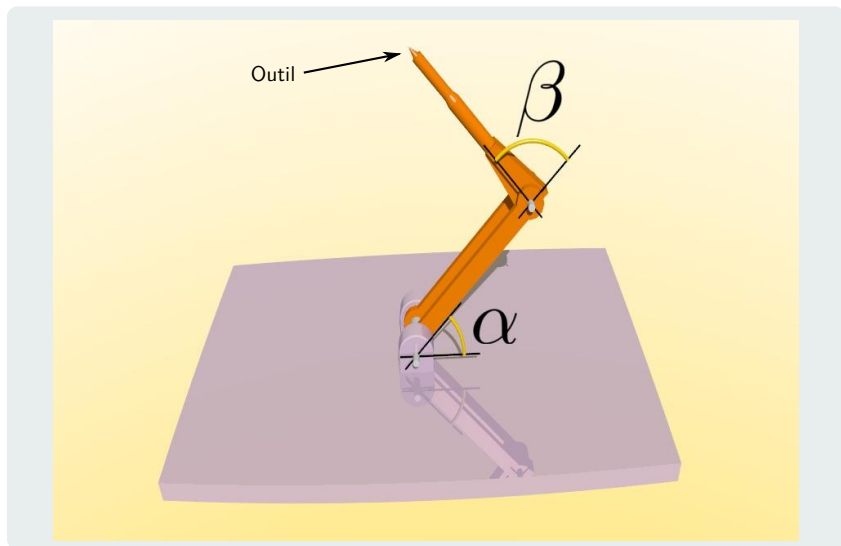
Résoudre l'équation  $\varphi(x) = 0$  d'inconnue  $x$ .



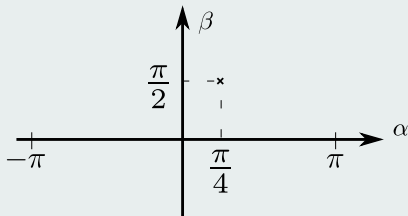
Résoudre l'équation  $\varphi(x) = 0$  d'inconnue  $x$ .



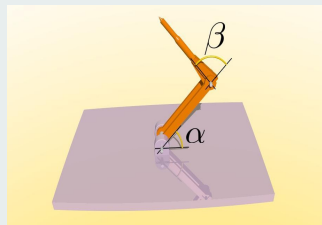
Les solutions de  $\varphi(x) = 0$  appartiennent à  $X_2 \cup X_5$ .



## La position de l'outil dépend de $\alpha$ et $\beta$



Espace des configurations



Espace de travail

## Modélisation

$$f : \begin{matrix} X \\ \left( \begin{matrix} \alpha \\ \beta \end{matrix} \right) \end{matrix} \rightarrow \begin{matrix} \mathbb{R}^2 \\ \left( \begin{matrix} 2 \cos(\alpha) + \cos(\alpha + \beta) \\ 2 \sin(\beta) + \sin(\alpha + \beta) \end{matrix} \right) \end{matrix}$$

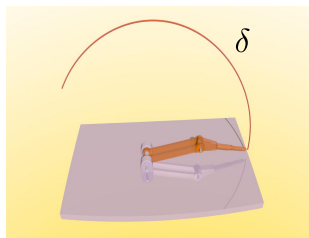


## Plannification de trajectoires

Entrée : un chemin  $\delta$  pour l'outil.

Sortie : un chemin  $\gamma$  dans l'espace des configurations tel que

$$f \circ \gamma = \delta.$$

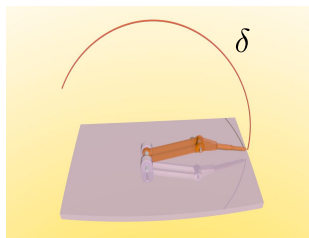
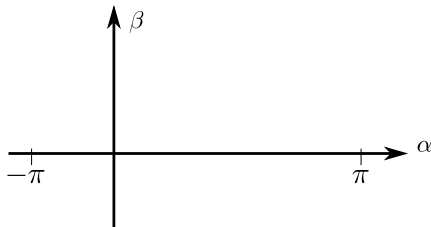


## Plannification de trajectoires

Entrée : un chemin  $\delta$  pour l'outil.

Sortie : un chemin  $\gamma$  dans l'espace des configurations tel que

$$f \circ \gamma = \delta.$$

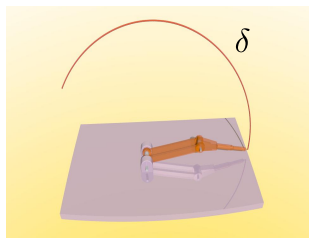
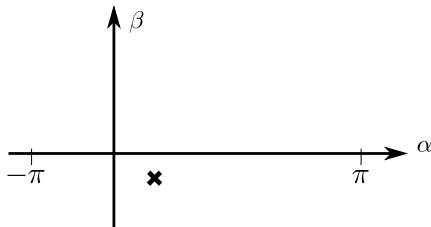


## Plannification de trajectoires

Entrée : un chemin  $\delta$  pour l'outil.

Sortie : un chemin  $\gamma$  dans l'espace des configurations tel que

$$f \circ \gamma = \delta.$$

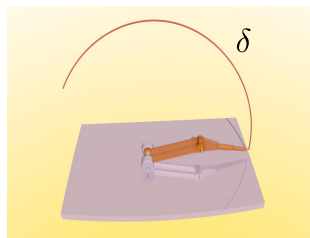
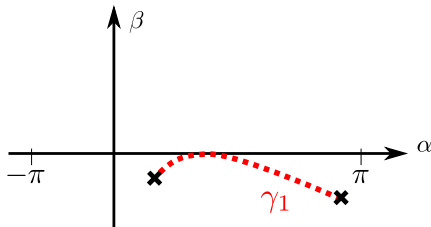


## Plannification de trajectoires

Entrée : un chemin  $\delta$  pour l'outil.

Sortie : un chemin  $\gamma$  dans l'espace des configurations tel que

$$f \circ \gamma = \delta.$$

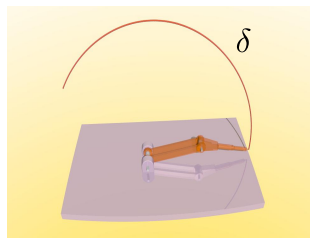
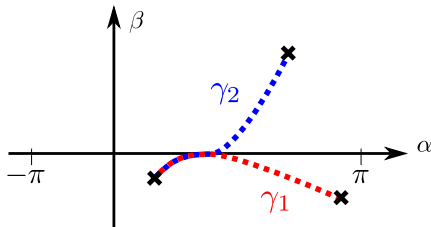


## Plannification de trajectoires

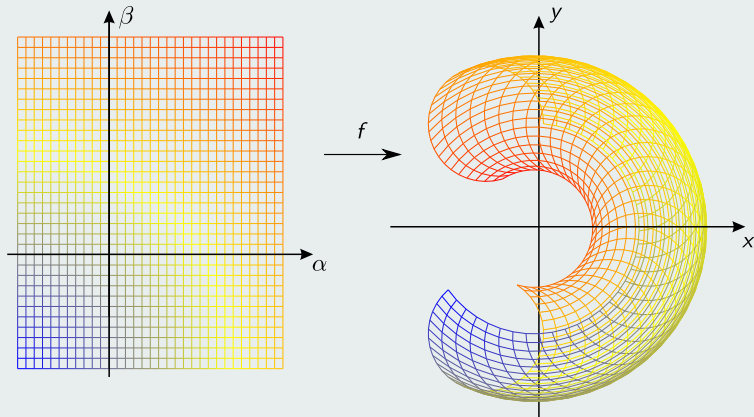
Entrée : un chemin  $\delta$  pour l'outil.

Sortie : un chemin  $\gamma$  dans l'espace des configurations tel que

$$f \circ \gamma = \delta.$$



## “Graphe” de la fonction $f$



## Objectif (robotique)

Calculer des *propriétés intrinsèques* d'un robot pour comprendre son comportement.

## Objectif (robotique)

Calculer des *propriétés intrinsèques* d'un robot pour comprendre son comportement.

## Objectif (mathématique)

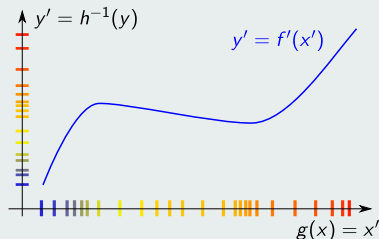
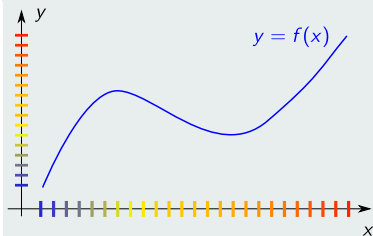
Etudier la fonction  $f$  qui modélise le robot :

$$\begin{aligned} f &: X \rightarrow Y \\ x &\mapsto f(x), \end{aligned}$$

modulo les changements de variables sur l'espace de configuration  $X$  et sur l'espace de travail  $Y$  (relation notée  $\sim$ ).



## Actions



## Proposition

Si  $f = h \circ f' \circ g$  alors  $\text{rang } df_x = \text{rang } df'_{g(x)}$ .

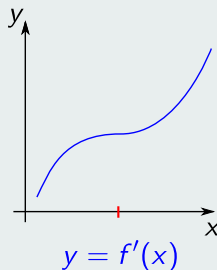
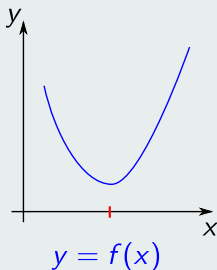
## Corollaire

La topologie de l'ensemble des points singuliers  $S_f$  de  $f$  est un invariant pour  $\sim$ .

## Type des singularités.

Il existe des fonctions lisses  $f, f' : [0, 1] \rightarrow [0, 1]$  telles que

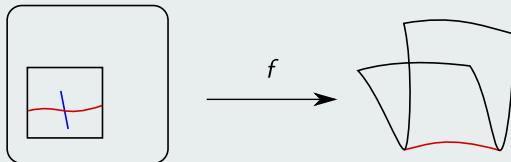
$$S_f \simeq S_{f'} \text{ et } f \not\sim f'.$$



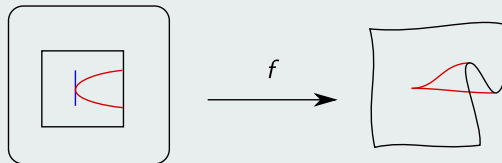
## Théorème de Whitney [1955]

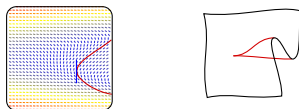
Soient  $X, Y$  deux variétés de dimension 2 et  $f$  *générique*. L'ensemble des points singuliers  $S_f$  est une courbe régulière. De plus, avec  $p \in S_f$ , on a :

- $T_p S_f \oplus \ker df_p = T_p X$  (**point pli**)



- $T_p S_p = \ker df_p$  (**point fronce**)





## Proposition

Soit  $f$  une fonction générique de  $X$  dans  $\mathbb{R}^2$ , on définit l'application  $c$  par :

$$\begin{aligned} c &: X \rightarrow \mathbb{R}^2 \\ p &\mapsto df_p \xi_p, \end{aligned}$$

où  $\xi$  est un champ de vecteurs défini par  $\xi_p = \begin{pmatrix} \partial_2 \det df_p \\ -\partial_1 \det df_p \end{pmatrix}$ . On a :

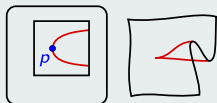
$$c(p) = 0 \Leftrightarrow p \text{ est une fronce.}$$

## Publication

Nicolas Delanoue et Sébastien Lagrange. A numerical approach to compute the topology of the Apparent Contour of a smooth mapping from  $\mathbb{R}^2$  to  $\mathbb{R}^2$ . *Journal of Computational and Applied Mathematics*, 271 :267–284, 2014.

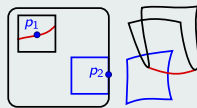
$X \subset \mathbb{R}^2$  compact simplement connexe et  $f : X \rightarrow \mathbb{R}^2$  générique :

Cas i : Fronce



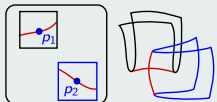
$$df_p \xi_p = 0$$

Cas iv



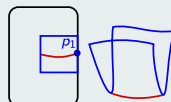
$$\begin{cases} b(p_1) = 0 \\ \det df_{p_2} = 0 \\ f(p_1) = f(p_2) \end{cases}$$

Cas ii : Noeuds



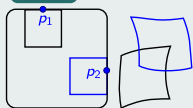
$$\begin{cases} \det df_{p_1} = 0 \\ \det df_{p_2} = 0 \\ f(p_1) = f(p_2) \end{cases}$$

Cas v



$$\begin{cases} \det df_{p_1} = 0 \\ b(p_1) = 0 \end{cases}$$

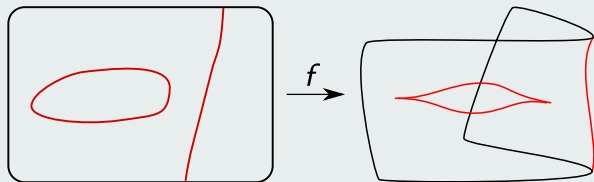
Cas iii



$$\begin{cases} b(p_1) = 0 \\ b(p_2) = 0 \\ f(p_1) = f(p_2) \end{cases}$$

Calcul de la topologie du contour apparent de  $f$ 

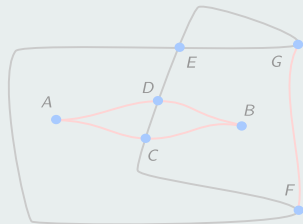
Entrée :  $X$  compact simplement connexe de  $\mathbb{R}^2$ ,  
une fonction  $f : X \mapsto \mathbb{R}^2$ ,



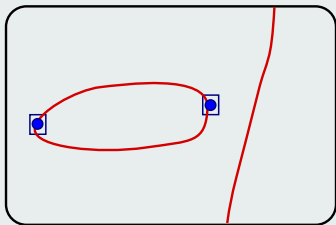
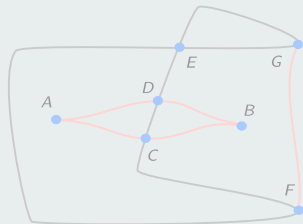
Sortie : la topologie de l'ensemble  $f(S_f \cup \partial X)$ .

$$\begin{pmatrix} 0 & 0 & 0 & 0 & 0 & 0 & 0 & 0 & 1 & 1 & 0 \\ 0 & 0 & 0 & 0 & 0 & 0 & 0 & 1 & 0 & 0 & 1 \\ 0 & 1 & 1 & 0 & 0 & 0 & 0 & 1 & 1 & 0 & 0 \\ 0 & 0 & 1 & 1 & 0 & 0 & 0 & 0 & 0 & 1 & 1 \\ 1 & 0 & 0 & 1 & 1 & 1 & 0 & 0 & 0 & 0 & 0 \\ 1 & 1 & 0 & 0 & 0 & 0 & 1 & 0 & 0 & 0 & 0 \\ 0 & 0 & 0 & 0 & 1 & 1 & 1 & 0 & 0 & 0 & 0 \end{pmatrix}$$

## Analyse

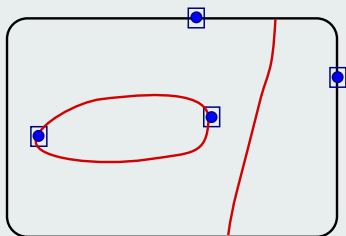
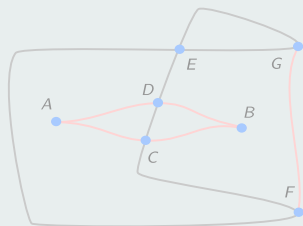
 $f$   
→

## Analyse

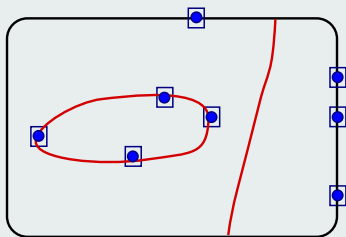
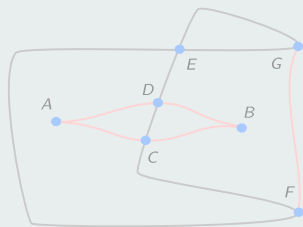

 $f$ 




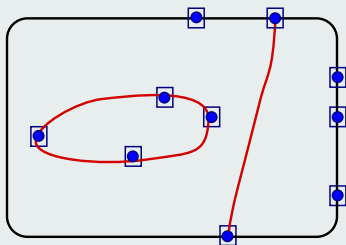
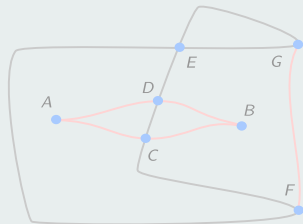
## Analyse


 $f$ 


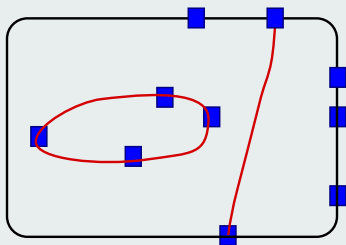
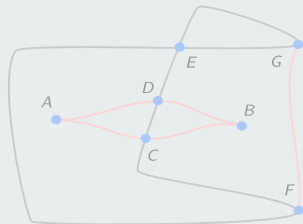
## Analyse


 $f$ 


## Analyse

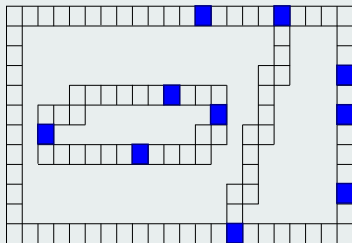
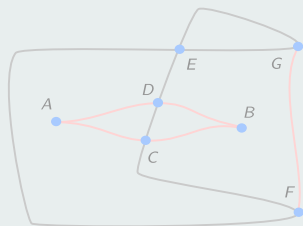

 $f$ 


## Analyse

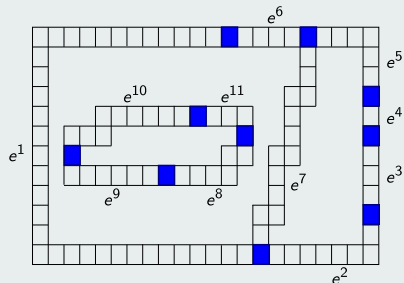
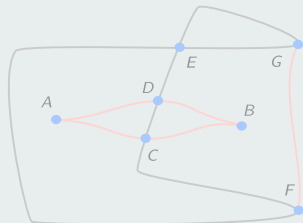

 $f$ 




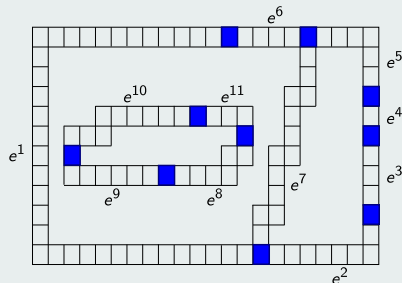
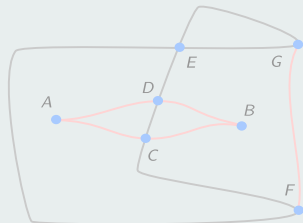
## Analyse


 $f$ 


## Analyse


 $f$ 


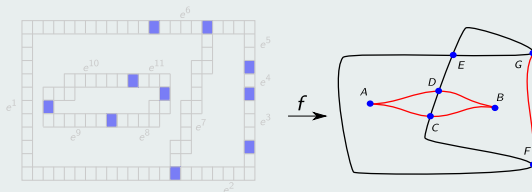
## Analyse


 $f$ 


$$\mathcal{X} = \begin{matrix} a \\ b \\ c_1 \\ c_2 \\ d_1 \\ d_2 \\ e_1 \\ e_2 \\ f \\ g \end{matrix} \begin{pmatrix} e^1 & e^2 & e^3 & e^4 & e^5 & e^6 & e^7 & e^8 & e^9 & e^{10} & e^{11} \\ 0 & 0 & 0 & 0 & 0 & 0 & 0 & 0 & 1 & 1 & 0 \\ 0 & 0 & 0 & 0 & 0 & 0 & 0 & 1 & 0 & 0 & 1 \\ 0 & 0 & 0 & 0 & 0 & 0 & 0 & 1 & 1 & 0 & 0 \\ 0 & 1 & 1 & 0 & 0 & 0 & 0 & 0 & 0 & 0 & 0 \\ 0 & 0 & 0 & 0 & 0 & 0 & 0 & 0 & 0 & 1 & 1 \\ 0 & 0 & 1 & 1 & 0 & 0 & 0 & 0 & 0 & 0 & 0 \\ 1 & 0 & 0 & 0 & 0 & 1 & 0 & 0 & 0 & 0 & 0 \\ 0 & 0 & 0 & 1 & 1 & 0 & 0 & 0 & 0 & 0 & 0 \\ 1 & 1 & 0 & 0 & 0 & 0 & 1 & 0 & 0 & 0 & 0 \\ 0 & 0 & 0 & 0 & 1 & 1 & 1 & 0 & 0 & 0 & 0 \end{pmatrix}$$



## Synthèse



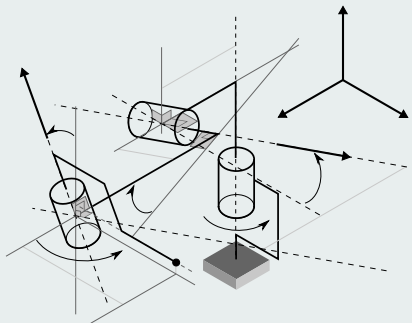
$$\mathcal{X}/f = \begin{matrix} & e^1 & e^2 & e^3 & e^4 & e^5 & e^6 & e^7 & e^8 & e^9 & e^{10} & e^{11} \\ \begin{matrix} A \\ B \\ C \\ D \\ E \\ F \\ G \end{matrix} & \begin{pmatrix} 0 & 0 & 0 & 0 & 0 & 0 & 0 & 0 & 1 & 1 & 0 \\ 0 & 0 & 0 & 0 & 0 & 0 & 0 & 1 & 0 & 0 & 1 \\ 0 & 1 & 1 & 0 & 0 & 0 & 0 & 1 & 1 & 0 & 0 \\ 0 & 0 & 1 & 1 & 0 & 0 & 0 & 0 & 0 & 1 & 1 \\ 1 & 0 & 0 & 1 & 1 & 1 & 0 & 0 & 0 & 0 & 0 \\ 1 & 1 & 0 & 0 & 0 & 0 & 1 & 0 & 0 & 0 & 0 \\ 0 & 0 & 0 & 0 & 1 & 1 & 1 & 0 & 0 & 0 & 0 \end{pmatrix} \end{matrix}$$

## Publication - Détails et preuves - Solver Thom

Nicolas Delanoue et Sébastien Lagrange. A numerical approach to compute the topology of the Apparent Contour of a smooth mapping from  $\mathbb{R}^2$  to  $\mathbb{R}^2$ . *Journal of Computational and Applied Mathematics*, 271 :267–284, 2014.

## Thèse de Romain Benoit

- Coencadrement avec Philippe Wenger et Sébastien Lagrange.
- Calcul numérique des fronces et noeuds du robot 3R :



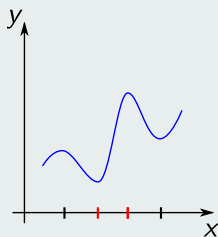
### Publication

Romain Benoit, Nicolas Delanoue, Sébastien Lagrange, et Philippe Wenger. Guaranteed detection of the singularities of 3R robotic manipulators. *Mechanical Sciences*, 7(1) :31-38, 2016.

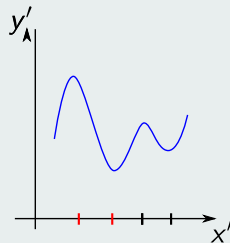
## Topologies de $X$ et de $Y$

Il existe des fonctions lisses  $f, f' : [0, 1] \rightarrow [0, 1]$  telles que

$$S_f \simeq S_{f'} \text{ et } f \not\sim f'.$$



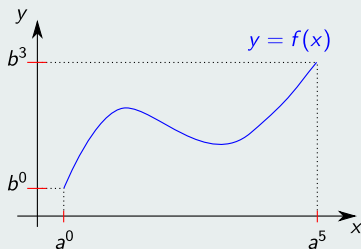
$$y = f(x)$$



$$y' = f'(x')$$

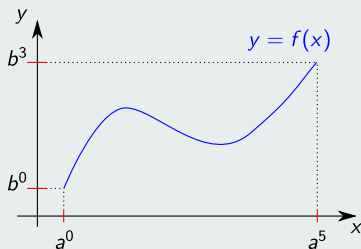
## Méthode

- 1 Calcul des singularités de  $f$  :  $S_f$
- 2 Calcul des valeurs singulières de  $f$  :  $f(S_f)$
- 3 Calcul des antécédents des valeurs singulières de  $f$  :  $f^{-1}f(S_f)$
- 4 Création des graphes  $\mathcal{X}$ ,  $\mathcal{Y}$  de voisinage sur le source et le but.



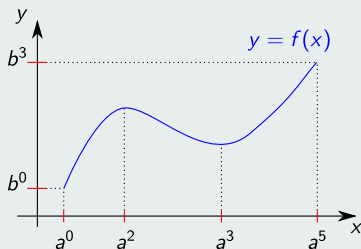
## Méthode

- 1 Calcul des singularités de  $f$  :  $S_f$
- 2 Calcul des valeurs singulières de  $f$  :  $f(S_f)$
- 3 Calcul des antécédents des valeurs singulières de  $f$  :  $f^{-1}f(S_f)$
- 4 Création des graphes  $\mathcal{X}$ ,  $\mathcal{Y}$  de voisinage sur le source et le but.



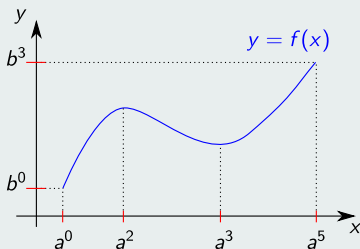
## Méthode

- 1 Calcul des singularités de  $f$  :  $S_f$
- 2 Calcul des valeurs singulières de  $f$  :  $f(S_f)$
- 3 Calcul des antécédents des valeurs singulières de  $f$  :  $f^{-1}f(S_f)$
- 4 Création des graphes  $\mathcal{X}$ ,  $\mathcal{Y}$  de voisinage sur le source et le but.



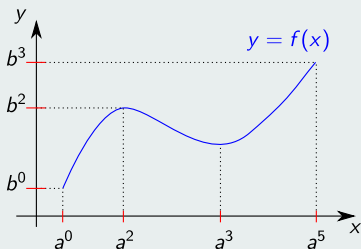
## Méthode

- 1 Calcul des singularités de  $f$  :  $S_f$
- 2 Calcul des valeurs singulières de  $f$  :  $f(S_f)$
- 3 Calcul des antécédents des valeurs singulières de  $f$  :  $f^{-1}f(S_f)$
- 4 Création des graphes  $\mathcal{X}$ ,  $\mathcal{Y}$  de voisinage sur le source et le but.



## Méthode

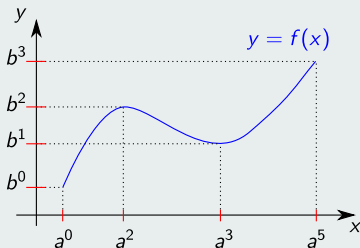
- 1 Calcul des singularités de  $f$  :  $S_f$
- 2 Calcul des valeurs singulières de  $f$  :  $f(S_f)$
- 3 Calcul des antécédents des valeurs singulières de  $f$  :  $f^{-1}f(S_f)$
- 4 Création des graphes  $\mathcal{X}$ ,  $\mathcal{Y}$  de voisinage sur le source et le but.





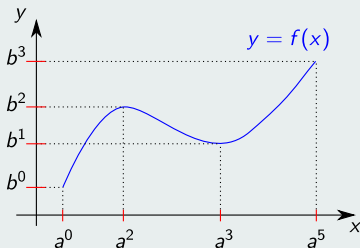
## Méthode

- 1 Calcul des singularités de  $f$  :  $S_f$
- 2 Calcul des valeurs singulières de  $f$  :  $f(S_f)$
- 3 Calcul des antécédents des valeurs singulières de  $f$  :  $f^{-1}f(S_f)$
- 4 Création des graphes  $\mathcal{X}$ ,  $\mathcal{Y}$  de voisinage sur le source et le but.



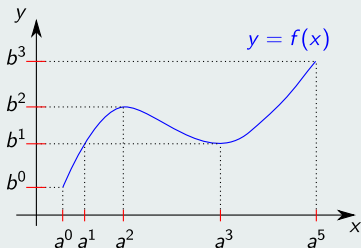
## Méthode

- 1 Calcul des singularités de  $f$  :  $S_f$
- 2 Calcul des valeurs singulières de  $f$  :  $f(S_f)$
- 3 Calcul des antécédents des valeurs singulières de  $f$  :  $f^{-1}f(S_f)$
- 4 Création des graphes  $\mathcal{X}$ ,  $\mathcal{Y}$  de voisinage sur le source et le but.



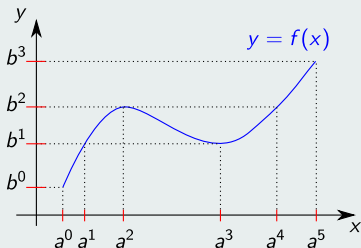
## Méthode

- 1 Calcul des singularités de  $f$  :  $S_f$
- 2 Calcul des valeurs singulières de  $f$  :  $f(S_f)$
- 3 Calcul des antécédents des valeurs singulières de  $f$  :  $f^{-1}f(S_f)$
- 4 Création des graphes  $\mathcal{X}$ ,  $\mathcal{Y}$  de voisinage sur le source et le but.



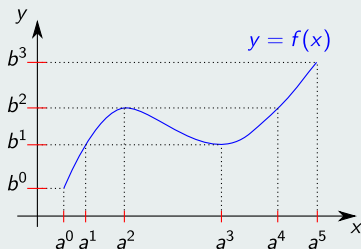
## Méthode

- 1 Calcul des singularités de  $f$  :  $S_f$
- 2 Calcul des valeurs singulières de  $f$  :  $f(S_f)$
- 3 Calcul des antécédents des valeurs singulières de  $f$  :  $f^{-1}f(S_f)$
- 4 Création des graphes  $\mathcal{X}$ ,  $\mathcal{Y}$  de voisinage sur le source et le but.



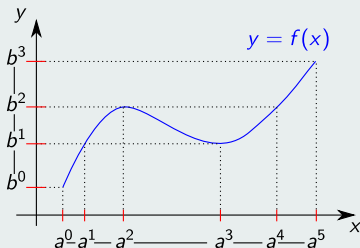
## Méthode

- 1 Calcul des singularités de  $f$  :  $S_f$
- 2 Calcul des valeurs singulières de  $f$  :  $f(S_f)$
- 3 Calcul des antécédents des valeurs singulières de  $f$  :  $f^{-1}f(S_f)$
- 4 Création des graphes  $\mathcal{X}$ ,  $\mathcal{Y}$  de voisinage sur le source et le but.



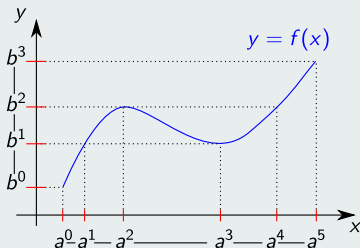
## Méthode

- ① Calcul des singularités de  $f$  :  $S_f$
- ② Calcul des valeurs singulières de  $f$  :  $f(S_f)$
- ③ Calcul des antécédents des valeurs singulières de  $f$  :  $f^{-1}f(S_f)$
- ④ Création des graphes  $\mathcal{X}$ ,  $\mathcal{Y}$  de voisinage sur le source et le but.



## Méthode

- ① Calcul des singularités de  $f$  :  $S_f$
- ② Calcul des valeurs singulières de  $f$  :  $f(S_f)$
- ③ Calcul des antécédents des valeurs singulières de  $f$  :  $f^{-1}f(S_f)$
- ④ Création des graphes  $\mathcal{X}$ ,  $\mathcal{Y}$  de voisinage sur le source et le but.

Résultat : portrait  $F$  de  $f$ 

$$\mathcal{X} = a^0 - a^1 - a^2 - a^3 - a^4 - a^5$$

$$\mathcal{Y} = b^0 - b^1 - b^2 - b^3$$

$$F : \mathcal{X} \rightarrow \mathcal{Y}$$

$$a^0 \mapsto b^0$$

$$a^1 \mapsto b^1$$

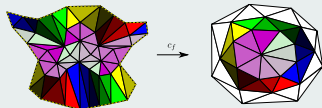
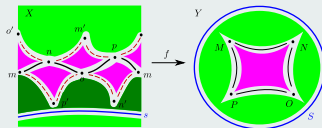
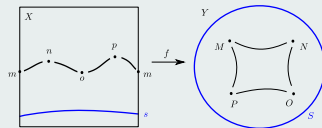
$$a^2 \mapsto b^2$$

$$a^3 \mapsto b^1$$

$$a^4 \mapsto b^2$$

$$a^5 \mapsto b^3$$

## Portrait de fonctions



## Publication

Romain Benoit, Nicolas Delanoue, Sébastien Lagrange, et Philippe Wenger. Combinatorial description of 2-dimensional kinematic functions : application to 3R robotic manipulators. *Soumis à Robotica*, 2018.





GdR 3273 MOA

Mathématiques de l'Optimisation et Applications



Accueil

Equipes

Activités

Historique

Liens

Contact

## Mini-cours sur l'optimisation polynomiale et le contrôle

INSA Rennes, 24-25 Mars 2014

En collaboration avec la conférence [MODE 2014](#)

Ce mini-cours se concentre sur l'optimisation polynomiale et le contrôle. Une attention particulière sera portée sur les techniques de relaxation semi-définie exploitant la dualité entre les problèmes de moments et la représentation de polynômes positifs sur des ensembles semi-algébriques.

L'objectif est d'introduire les idées principales d'une façon unifiée mais accessible, dans l'espoir de stimuler de nouvelles activités de recherche dans ce domaine.

### Intervenants

**Didier Henrion** est chercheur au CNRS travaillant au [LAAS](#) à Toulouse, France. Il est aussi Professeur à Faculté d'ingénierie électrique de l'Université technologique tchèque à Prague, République Tchèque. Il s'intéresse à l'optimisation polynomiale des systèmes contrôlés et plus particulièrement au développement d'outils constructifs pour résoudre les problèmes mathématiques apparaissant dans la théorie du contrôle des systèmes.

**Jean-Bernard Lasserre** est chercheur au CNRS travaillant au [LAAS](#) et à l'[Institut de Mathématiques](#) de l'Université de Toulouse, France. Après avoir contribué à l'étude des problèmes de décision markovien, il s'est spécialisé dans la programmation semi-définie et dans la relaxation des inégalités matricielles linéaires pour l'optimisation polynomiale et le contrôle optimal.

## Problème des moments généralisés

$$\inf_{\mu \in \mathcal{M}^+(X)} \int_X \varphi(x) d\mu$$

$$\text{tel que } \int_X \psi(x) d\mu \leq \gamma_\psi, \forall \psi \in \Gamma.$$

Ces techniques permettent de résoudre des problèmes tels que :

- trouver le minimum global d'une fonction sur un sous-ensemble de  $\mathbb{R}^n$ ,
- évaluer la valeur du transport optimal de Kantorovitch,
- calculer la valeur optimale d'un problème de contrôle optimal,
- calculer la mesure de Lebesgue d'un sous-ensemble  $S \subset \mathbb{R}^n$ ,
- calculer une borne supérieure à  $\mu(S)$  parmi toutes les mesures  $\mu$  vérifiant certaines conditions sur ses moments,
- évaluer le critère ergodique associé à une chaîne de Markov,
- ...

## Problème des moments généralisés

$$\inf_{\mu \in \mathcal{M}^+(X)} \int_X \varphi(x) d\mu$$

$$\text{tel que } \int_X \psi(x) d\mu \leq \gamma_\psi, \forall \psi \in \Gamma.$$

Ces techniques permettent de résoudre des problèmes tels que :

- trouver le minimum global d'une fonction sur un sous-ensemble de  $\mathbb{R}^n$ ,
- évaluer la valeur du transport optimal de Kantorovitch,
- calculer la valeur optimale d'un problème de contrôle optimal,
- calculer la mesure de Lebesgue d'un sous-ensemble  $S \subset \mathbb{R}^n$ ,
- calculer une borne supérieure à  $\mu(S)$  parmi toutes les mesures  $\mu$  vérifiant certaines conditions sur ses moments,
- évaluer le critère ergodique associé à une chaîne de Markov,
- ...

## Problème des moments généralisés

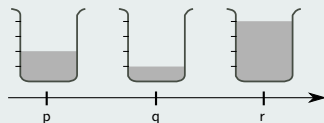
$$\inf_{\mu \in \mathcal{M}^+(X)} \int_X \varphi(x) d\mu$$

$$\text{tel que } \int_X \psi(x) d\mu \leq \gamma_\psi, \forall \psi \in \Gamma.$$

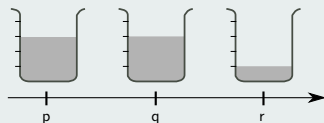
Ces techniques permettent de résoudre des problèmes tels que :

- trouver le minimum global d'une fonction sur un sous-ensemble de  $\mathbb{R}^n$ ,
- évaluer la valeur du transport optimal de Kantorovitch,
- calculer la valeur optimale d'un problème de contrôle optimal,
- calculer la mesure de Lebesgue d'un sous-ensemble  $S \subset \mathbb{R}^n$ ,
- calculer une borne supérieure à  $\mu(S)$  parmi toutes les mesures  $\mu$  vérifiant certaines conditions sur ses moments,
- évaluer le critère ergodique associé à une chaîne de Markov,
- ...

## Exemple dans le cas discret



$$\mu = (2, 1, 4)$$



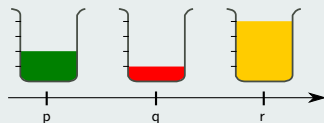
$$\nu = (3, 3, 1)$$

## Problème de transport

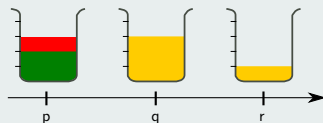
	3	3	1
4	$\pi_{11}$	$\pi_{12}$	$\pi_{13}$
1	$\pi_{21}$	$\pi_{22}$	$\pi_{23}$
2	$\pi_{31}$	$\pi_{32}$	$\pi_{33}$

$$\text{tel que } \begin{cases} \forall i, \sum_j \pi_{ij} = \mu_i, \\ \forall j, \sum_i \pi_{ij} = \nu_j. \end{cases}$$

## Exemple dans le cas discret



$$\mu = (2, 1, 4)$$



$$\nu = (3, 3, 1)$$

## Une solution au problème de transport

	3	3	1	vérifie	$\left\{ \begin{array}{l} \forall i, \sum_j \pi_{ij} = \mu_i, \\ \forall j, \sum_i \pi_{ij} = \nu_j. \end{array} \right.$
2	2	0	0		
1	1	0	0		
4	0	3	1		

## Dans le cas discret

$$\begin{aligned}
 & \min_{\pi \in \mathbb{R}^n \otimes \mathbb{R}^m} \sum_{i,j} c_{ij} \pi_{ij} \\
 & \text{tel que } \forall i, \sum_j \pi_{ij} = \mu_i, \\
 & \quad \forall j, \sum_i \pi_{ij} = \nu_j.
 \end{aligned} \tag{1}$$

où  $c_{ij} \in \mathbb{R}^+$  est le coût d'un transport de masse unitaire de la position  $i$  à la position  $j$ .

## Formulation de Kantorovich

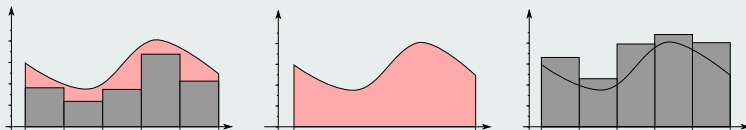
La valeur optimale du problème de transport entre  $\mu$  et  $\nu$  est la valeur :

$$\begin{aligned}
 \mathcal{T}_c(\mu, \nu) &= \inf_{\pi \in \mathcal{M}^+(X \times Y)} \int_{X \times Y} c(x, y) d\pi \\
 & \text{telle que } \pi_X = \mu, \\
 & \quad \pi_Y = \nu.
 \end{aligned} \tag{2}$$

## Lemme - Encadrement

Soit  $\{X_i\}_i$  une partition de  $X$ , si  $\mu \in \mathcal{M}^+(X)$  et  $[\varphi]$  une fonction d'inclusion pour  $\varphi$  alors

$$\sum_i \underline{\varphi}(X_i) \mu(X_i) \leq \int_X \varphi(x) d\mu(x) \leq \sum_i \bar{\varphi}(X_i) \mu(X_i).$$





### Proposition - Relaxation

- $\mu, \nu$  deux mesures avec  $X$  et  $Y$  comme support,
- $\{X_i\}_i, \{Y_j\}_j$  deux partitions de  $X$  et  $Y$ ,
- $\mu(X_i) \in [\underline{\mu}_i, \bar{\mu}_i], \nu(Y_j) \in [\underline{\nu}_j, \bar{\nu}_j]$ ,
- $\forall (x, y) \in X_i \times Y_j, c_{ij} \leq c(x, y)$ ,

Si

$$\mathcal{I} = \min_{\pi_{ij} \in \mathbb{R}^n \otimes \mathbb{R}^m} \sum_{i,j} c_{ij} \pi_{ij}$$

tel que  $\forall i, \underline{\mu}_i \leq \sum_j \pi_{ij} \leq \bar{\mu}_i,$

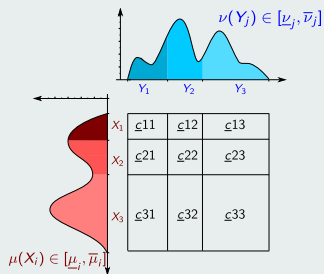
$$\forall j, \underline{\nu}_j \leq \sum_i \pi_{ij} \leq \bar{\nu}_j,$$

$$\forall i, \forall j, \pi_{ij} \geq 0.$$

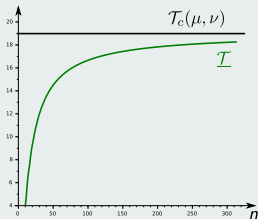
alors

$$\mathcal{I} \leq \mathcal{T}_c(\mu, \nu).$$

### Discrétisation spatiale



### Résultats : bornes inférieures



## Problème primal

$$\begin{aligned} & \inf_{\pi \in \mathcal{M}^+(X \times Y)} \int_{X \times Y} c(x, y) d\pi \\ \text{tel que} & \quad \pi_X = \mu, \\ & \quad \pi_Y = \nu \end{aligned}$$

## Problème dual

$$\begin{aligned} & \sup_{\phi, \psi \in \mathcal{C}_b(X, Y)} \int_X \phi(x) d\mu(x) + \int_Y \psi(y) d\nu(y) \\ \text{tel que} & \quad \phi(x) + \psi(y) \leq c(x, y). \end{aligned}$$

où  $\mathcal{C}_b(X, Y)$  désigne l'ensemble des couples  $(\phi, \psi)$  de fonctions bornées et continues  $\phi : X \rightarrow \mathbb{R}$  et  $\psi : Y \rightarrow \mathbb{R}$ .

### Proposition - Relaxation

- $\mu, \nu$  deux mesures avec  $X$  et  $Y$  comme support,
- $\{X_i\}_i, \{Y_j\}_j$  deux partitions de  $X$  et  $Y$ ,
- $\mu(X_i) \leq \bar{\mu}_i, \nu(Y_j) \leq \bar{\nu}_j$ ,
- $\forall x, y \in X_i \times Y_j, c(x, y) \leq \bar{c}_{ij}$ .

Si

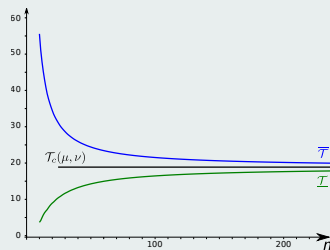
$$\bar{\mathcal{T}} = \sup_{(\phi_i) \in \mathbb{R}^n, (\psi_j) \in \mathbb{R}^n} \sum_i \phi_i \bar{\mu}_i + \sum_j \psi_j \bar{\nu}_i$$

tel que  $\phi_i + \psi_j \leq \bar{c}_{ij}$

alors

$$\mathcal{T}_c(\mu, \nu) \leq \bar{\mathcal{T}}.$$

### Résultats : bornes supérieures



### Publication - Preuves et convergence

Nicolas Delanoue, Mehdi Lhommeau, et Philippe Lucidarme. Numerical enclosures of the optimal cost of the Kantorovitch's mass transportation problem. *Computational Optimization and Applications*, 63(3) :855-873, 2016.

## Théorème

$$J_1^* = \min_{u: [0, T] \rightarrow U} \int_0^T h(t, x(t), u(t)) dt + H(x(T)) \quad (3)$$

tel que  $x(0) = x_0, \dot{x} = f(x, u), \forall t \in [0, T],$   
 $x(t) \in X, \forall t \in [0, T], x(T) \in K.$

et

$$J_2^* = \min_{\mu, \nu \in \mathcal{M}_+} \langle \mu, h \rangle + \langle \nu, H \rangle \quad (4)$$

tel que  $\mathcal{L}'(\mu, \nu) = \delta_{(0, x_0)},$   
 $\text{supp}(\mu) \subset [0, T] \times X \times U, \text{supp}(\nu) \subset K.$

Sous les hypothèses de Vinter,

$$J_1^* = J_2^*.$$

## Théorème

$$\begin{aligned}
 J_1^* = \min_{u: [0, T] \rightarrow U} \int_0^T h(t, x(t), u(t)) dt + H(x(T)) \\
 \text{tel que } x(0) = x_0, \dot{x} = f(x, u), \forall t \in [0, T], \\
 x(t) \in X, \forall t \in [0, T], x(T) \in K.
 \end{aligned} \tag{3}$$

et

$$\begin{aligned}
 J_2^* = \min_{\mu, \nu \in \mathcal{M}_+} \langle \mu, h \rangle + \langle \nu, H \rangle \\
 \text{tel que } \mathcal{L}'(\mu, \nu) = \delta_{(0, x_0)}, \\
 \text{supp}(\mu) \subset [0, T] \times X \times U, \text{supp}(\nu) \subset K.
 \end{aligned} \tag{4}$$

Sous les hypothèses de Vinter,

$$J_1^* = J_2^*.$$

### Théorème - Relaxation

$$J^* = \min_{\mu, \nu \in \mathcal{M}_+} \langle \mu, h \rangle + \langle \nu, H \rangle$$

tel que  $\mathcal{L}'(\mu, \nu) = \delta_{(0, x_0)}$

$\{X_i\}$  une partition de  $[0, T] \times X \times U$ ,  
 $\{Y_k\}$  une partition de  $K$ ,  
 $\mathcal{P} = \{\varphi\}$  une famille finie de fonctions de  $t, x$ .

$$\underline{J} = \min_{\mu_i, \nu_k \in \mathbb{R}^+} \sum_{i \in I} \mu_i \underline{h}_i + \sum_{k \in K} \nu_k \underline{H}_k$$

tel que  $\forall \varphi \in \mathcal{P} \quad \sum_{i \in I} \mu_i \underline{\psi}_i + \sum_{k \in K} \nu_k \underline{\varphi}_k \leq \varphi(0, x_0)$

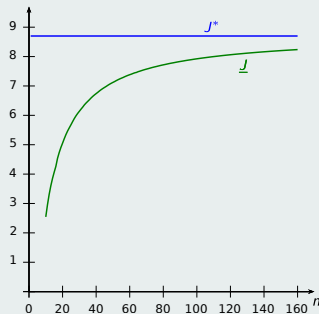
$$\varphi(0, x_0) \leq \sum_{i \in I} \mu_i \bar{\psi}_i + \sum_{k \in K} \nu_k \bar{\varphi}_k,$$

avec  $\psi = -\frac{\partial \varphi}{\partial t} - \frac{\partial \varphi}{\partial x} f(t, x, u)$ ,

alors

$$\underline{J} \leq J^*.$$

### Bornes inférieures garanties



### Publication - Preuves et convergence

Nicolas Delanoue, Mehdi Lhommeau, et Sébastien Lagrange. Nonlinear optimal control : A numerical scheme based on occupation measures and interval analysis. *Soumis à Computational Optimization and Applications*, 2018.

## Publications et communications

- 11 articles de revues internationales à comité de lecture référencées,
- 2 chapitres d'ouvrages collectifs,
- 6 communications dans des conférences internationales à comité de lecture,
- nombreux séminaires et workshops internationaux.

## Invitations

W. Tucker - Université de Bergen, Université d'Uppsala

A. Goldsztejn - Institut Henri Poincaré RAIM 2013

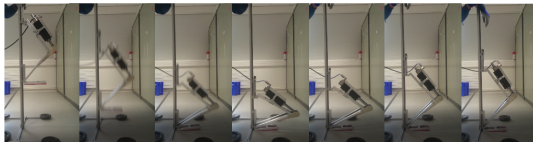
A. Stancu - Université de Manchester M. Mustafa, A. Stancu, N. Delanoue et E. Codres. Guaranteed slam - an interval approach. *Robotics and Autonomous Systems*, 100 :160-170, 2018.

G. Moroz - INRIA Nancy Perspective : écrire un semi-algorithme capable de décider qu'une fonction est transverse à une sous variété  $W$ .

Perspective 1 : Robotique humanoïde avec le LS2N.

Projet ANR en robotique humanoïde - B4D2 - 2018

Moteurs linéaires, à entraînement direct, réversibles et bi-articulaires pour la robotique humanoïde bio-inspirée.



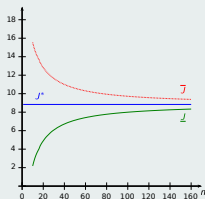
Conférence - ROMANSY 2018

*Preliminary survey of backdrivable linear actuators for humanoid robots*, Philippe Lucidarme, Nicolas Delanoue, Franck Mercier, Yannick Aoustin, Christine Chevallereau, Philippe Wenger ROMANSY 2018, 22nd CISM IFToMM Symposium on Robot Design, Dynamics and Control, 2018 Rennes, France

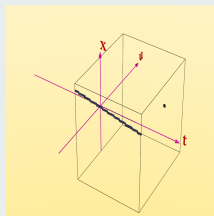


**Perspective 2 :** *Calcul de bornes supérieures pour le contrôle optimal et étudier la convergence des solutions pour proposer une loi de commande.*

Bornes supérieures :



Commande optimale :



Didier Henrion, Jean-Bernard Lasserre, and Carlo Savorgnan. Nonlinear optimal control synthesis via occupation measures. In Proceedings of the IEEE Conference on Decision and Control, pages 4749–4754, 2008.

Encadrement doctoral - Collaboration avec l'université de Medellin - Colombie

Doctorante : Luz Adriana Guzman, Coencadrement avec S. Lahaye et V. Azhmyakov.

*Perspective 3 : Méthode générale pour résoudre numériquement les problèmes des moments généralisés.*

### Théorème de Putinar

Soit  $X = \{x \in \mathbb{R}^n \mid g_i(x) \geq 0, i = 1, \dots, m\}$  compact et  $(g_i)_{i=1}^m \subset \mathbb{R}[x]$ .

Hypothèse ( $\alpha$ ),

$$\forall x \in X, f(x) > 0 \Rightarrow \exists \sigma_i \in \Sigma[x], f - \sigma_1 g_1 \cdots - \sigma_m g_m = \sigma_0.$$

### Théorème de positivité

Soit  $X = \{x \in \mathbb{R}^n \mid g_i(x) \geq 0, i = 1, \dots, m\}$  compact et  $(g_i)_{i=1}^m \subset \mathcal{C}^0$ .

Hypothèse ( $\beta$ ),

$$\forall x \in X, f(x) > 0 \Rightarrow \exists \sigma_i \in \mathcal{C}^+, \max(f, -(\sigma_1 + g_1), \dots, -(\sigma_m + g_m)) = \sigma_0.$$

Perspective 4 : *Etudier globalement une fonction avec la théorie de la mesure.*

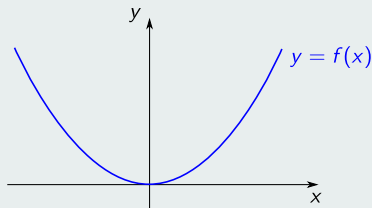
### Définition - Pushforward

$$\begin{aligned} f_* : \mathcal{M}(X) &\rightarrow \mathcal{M}(Y) \\ \mu &\mapsto \nu = f_*\mu, \quad \text{avec } \nu(B) = \mu(f^{-1}(B)). \end{aligned}$$

Perspective 4 : *Etudier globalement une fonction avec la théorie de la mesure.*

### Définition - Pushforward

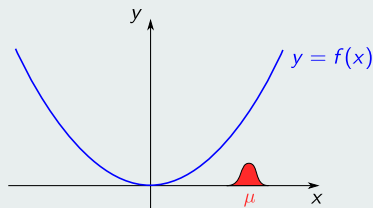
$$\begin{aligned} f_* : \mathcal{M}(X) &\rightarrow \mathcal{M}(Y) \\ \mu &\mapsto \nu = f_*\mu, \quad \text{avec } \nu(B) = \mu(f^{-1}(B)). \end{aligned}$$



Perspective 4 : *Etudier globalement une fonction avec la théorie de la mesure.*

### Définition - Pushforward

$$\begin{aligned} f_* : \mathcal{M}(X) &\rightarrow \mathcal{M}(Y) \\ \mu &\mapsto \nu = f_*\mu, \quad \text{avec } \nu(B) = \mu(f^{-1}(B)). \end{aligned}$$

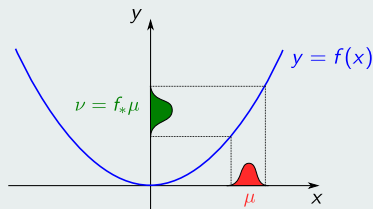


Perspective 4 : *Etudier globalement une fonction avec la théorie de la mesure.*

### Définition - Pushforward

$$f_* : \mathcal{M}(X) \rightarrow \mathcal{M}(Y)$$

$$\mu \mapsto \nu = f_*\mu, \quad \text{avec } \nu(B) = \mu(f^{-1}(B)).$$

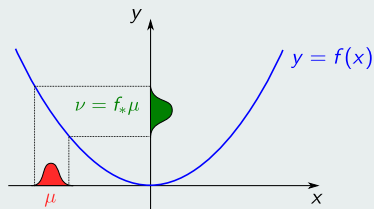


Perspective 4 : *Etudier globalement une fonction avec la théorie de la mesure.*

### Définition - Pushforward

$$f_* : \mathcal{M}(X) \rightarrow \mathcal{M}(Y)$$

$$\mu \mapsto \nu = f_*\mu, \quad \text{avec } \nu(B) = \mu(f^{-1}(B)).$$

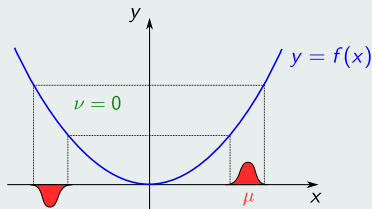


Perspective 4 : *Etudier globalement une fonction avec la théorie de la mesure.*

Définition - Pushforward

$$f_* : \mathcal{M}(X) \rightarrow \mathcal{M}(Y)$$

$$\mu \mapsto \nu = f_*\mu, \quad \text{avec } \nu(B) = \mu(f^{-1}(B)).$$



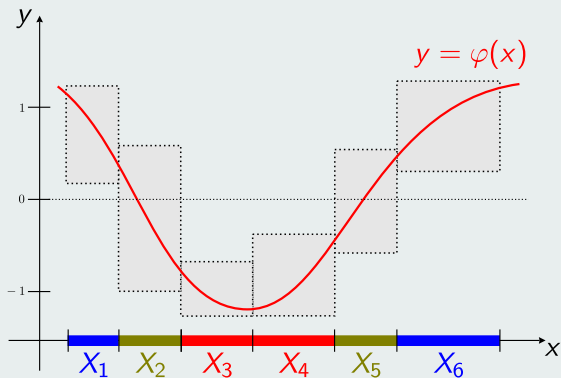
$f$  est injective  $\Leftrightarrow \ker f_* = \{0\}$ .



Merci pour votre attention.

## Calcul de volumes

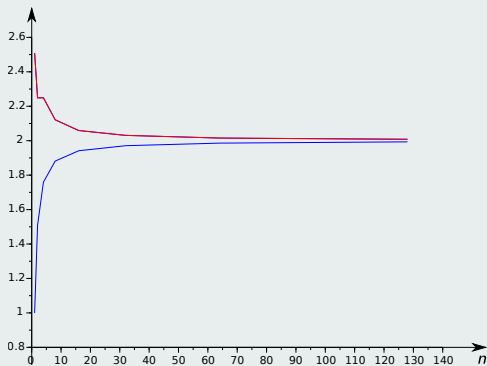
Calculer  $V = \lambda(\{x \in \mathbb{R}^n \mid \varphi(x) \leq 0\})$ .



$$\lambda(X_3) + \lambda(X_4) \leq V \leq \lambda(X_2) + \dots + \lambda(X_5)$$

## Calcul de volumes

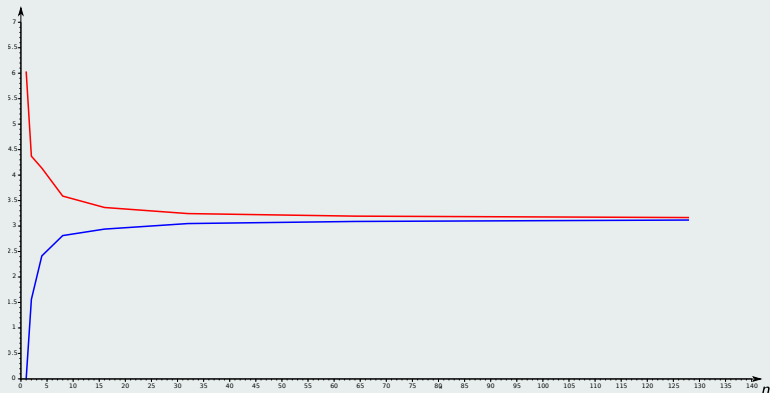
$$\lambda(\{x \in \mathbb{R} \mid x^2 - 1 \leq 0\})$$



avec  $\epsilon = \frac{1}{n}$ .

## Calcul de volumes

$$\lambda(\{(x, y) \in \mathbb{R}^2 \mid x^2 + y^2 - 1 \leq 0\})$$



avec  $\epsilon = \frac{1}{n}$ .